



GEII
Département Génie Électrique
& Informatique Industrielle
IUT Belfort-Montbéliard

HOME-TRAINER

RAPPORT DE PROJET TUTORÉ

Année 2017-2018

Robin FERNANDEZ

Lucas MARINHO

Licence Professionnelle VEGA

**Véhicules : Électronique &
Gestion des Automatismes**

HILAIRET Mickaël



GEII

Département Génie Électrique
& Informatique Industrielle
IUT Belfort-Montbéliard

Remerciements

Nos remerciements vont à notre encadrant technique Mr HILAIRET pour son aide au lancement du projet et qui nous a aidé durant le déroulement de celui-ci. Ses conseils nous ont permis de nous orienter dans la bonne direction, ce qui a été extrêmement instructif.

Nous remercions également toute l'équipe pédagogique du département GEII de l'IUT Belfort-Montbéliard et les intervenants professionnels responsables de la formation licence professionnelle VEGA : Véhicules Électroniques et Gestion des Automatismes pour avoir assuré la partie théorique de celle-ci, Mr Frédéric GUSTIN, enseignant-chercheur, pour sa contribution, ainsi que Mr Vincent HUBERT pour la maintenance du Home trainer.



GEII

Département Génie Électrique
& Informatique Industrielle
IUT Belfort-Montbéliard

Table des matières

Remerciements	2
Introduction.....	4
Présentation du projet :	5
Gestion de projet.....	6
La planification du projet et les outils de gestion	6
Cahier des charges.....	6
Diagramme GANTT	6
Objectifs et contraintes :.....	7
a. Les objectifs techniques.....	7
b. Les objectifs économiques	7
c. Le délai	7
d. Contraintes matérielles	7
Diagramme bête à cornes :	8
Schéma synoptique :	9
1 ^{ère} Partie : L'électronique de puissance.....	10
2 ^{ème} Partie : L'Interface Homme Machine	13
Interface Nextion Editor :	15
La position des aiguilles sur Nextion.....	16
Les librairies.	16
Stratégie utilisée pour déterminer la cadence de pédalage :	17
Conclusion :	20
Bibliographie :	21
ANNEXES.....	22
Programmation :.....	22
Moteur Maxon A-MAX 110150 :	26



GEII

Département Génie Électrique
& Informatique Industrielle
IUT Belfort-Montbéliard

Introduction

Notre produit, home trainer, est un appareil permettant aux personnes d'utiliser leur vélo pour s'entraîner chez elles lorsque les conditions climatiques ne permettent pas de le faire à l'extérieur. En fait, l'entraînement sur home trainer est plus efficace que sur route. Il n'y a pas de descentes ni de moments de relâche. Une demi-heure de travail correspond approximativement à 1 heure de vélo sur route.

Peu encombrant, simple d'utilisation, ne demandant aucune préparation spécifique, le Home trainer facilite par ailleurs les séances en hiver quand la tombée de la nuit ou la température extérieure rendant une sortie difficile. Les cyclistes professionnels ou amateurs peuvent s'équiper de cet appareil.

Il existe différents types de technologie :

Le home-trainer à transmission directe : il permet de relier directement la chaîne du vélo à la machine équipée d'une cassette et non à la roue arrière complète. Il peut simuler des pentes jusqu'à 18% et ce, de manière discrète.

Le home-trainer à rouleaux : il permet de travailler l'équilibre, la technique de pédalage et la vitesse. Le vélo est posé sur des rouleaux mais n'est pas fixé. Il ne permet donc pas de simuler des pentes ni de travailler la force et la puissance.

Le home-trainer à résistance : il permet de fixer la roue arrière du vélo directement sur le home trainer, on peut régler le niveau de résistance en ajustant le frein électromagnétique.

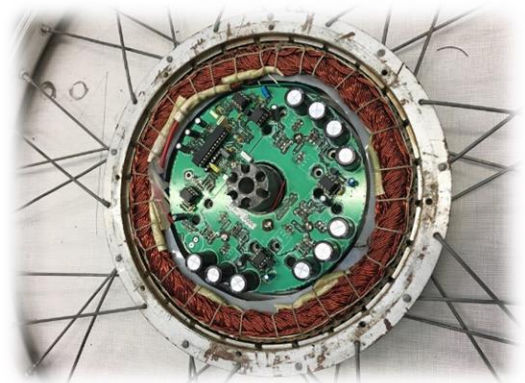


GEII

Département Génie Électrique
& Informatique Industrielle
IUT Belfort-Montbéliard

Présentation du projet :

Nous sommes partis d'un vélo électrique en utilisant le moteur positionné sur la roue arrière en alternateur ainsi nous avons pu gagner en fluidité de pédalage et il ne subira pas d'usure mécanique dans le temps grâce au moteur brushless (sans balais). La charge alimentée par l'alternateur grâce à sa résistance impacte le couple développé.



Le vélo est positionné sur un châssis qui a été amélioré pour pédaler dans de meilleures conditions.

L'utilisateur pourra observer la puissance instantanée grâce à un afficheur tactile ainsi que d'autres fonctionnalités.

Le projet se déroule en plusieurs tâches :

- Récupérer la puissance développée, et convertir la donnée pour pouvoir la visualiser et la contrôler sur un écran tactile de marque Nextion.
- Intégrer un programme Arduino dans la carte DE1_SoC pour communiquer les informations vers l'écran tactile.
- Développer une interface IHM.
- Afficher la fréquence de pédalage.



GEII

Département Génie Électrique
& Informatique Industrielle
IUT Belfort-Montbéliard

Gestion de projet

Nos diverses expériences professionnelles et personnelles au cours de ces années d'études, nous ont permis d'aiguiser notre curiosité et de nous ouvrir à d'autres domaines et technologies. Nos centres d'intérêts, souvent abordés lors de nos discussions quotidiennes, nous ont finalement rassemblés tous les deux cette année autour de ce projet, principalement axés sur la programmation afin de continuer les travaux des années précédentes.

La planification du projet et les outils de gestion

Cahier des charges

Le cahier des charge (ou objectif) fournit par notre professeur référent au début de l'année, décrit les conditions attachées à l'exécution du projet, cela nous a permis dans un premier temps de définir le contexte, les enjeux, les objectifs techniques ainsi que de nous pousser à comprendre le travail qui avait été fait auparavant. En organisant nos idées, nous avons ainsi pu vérifier la concordance et la faisabilité des différentes tâches.

Diagramme GANTT

Afin de gérer au mieux le temps imparti pour la réalisation de notre projet, nous avons réalisé un diagramme de GANTT en avant-projet, et avons tenté de nous y tenir depuis.

Objectifs et contraintes :

a. Les objectifs techniques

Étant pour le moment dans un projet universitaire limité en moyens et en temps, nous devons améliorer le projet réalisé par des étudiants de l'année précédente en sélectionnant des solutions à développer parmi toutes les possibilités. Notre objectif est de remplacer l'écran déjà existant, piloté par un FPGA installé sur le Home trainer, par un écran tactile de la marque Nextion piloté par un Arduino. Il servira d'interface homme-machine, et permettra de piloter les différents niveaux de pédalage ainsi que d'afficher différentes informations telles qu'un compteur de puissance.

b. Les objectifs économiques

Comme évoqué précédemment, un des enjeux du projet est économique. Un prix « maîtrisé » est synonyme de produit grand public. L'écran Nextion est contrôlable par le biais d'une liaison série RS232 compatible avec l'Arduino, déjà existant ce qui implique de ne pas ajouter un FPGA qui rendrait le système plus coûteux.

c. Le délai

Afin de terminer ce projet ambitieux dans les temps, il est important de le gérer correctement et de le tenir à jour grâce aux outils de gestion adéquats. Dans cette optique, nous avons utilisé des outils autant présents dans le domaine universitaire que dans le monde du travail : journal de bord, diagramme de Gantt, diagramme Pert, etc.

d. Contraintes matérielles

Nous continuons un travail déjà entamé, nous devons donc utiliser l'existant, ce qui implique des contraintes matérielles, et logiciels, comme par exemple le logiciel Arduino :

Arduino est un circuit imprimé en matériel libre sur lequel se trouve un microcontrôleur qui peut être programmé pour analyser et produire des signaux électriques, de manière à exécuter des tâches très diverses comme le pilotage d'un robot. C'est une plate-forme basée sur une interface entrée/sortie simple. Le logiciel de programmation des modules Arduino est une application Java multi-plateforme servant d'éditeur de code et de compilateur. Celui-ci permet de transférer le programme au travers de la liaison série. Le langage de programmation utilisé est le C++, lié à la bibliothèque de développement Arduino, permettant l'utilisation de la carte et de ses entrées/sorties.



GEII

Département Génie Électrique
& Informatique Industrielle
IUT Belfort-Montbéliard

Diagramme bête à cornes :

Nous traçons le diagramme bête à cornes ci-dessous afin d'expliciter l'exigence fondamentale qui justifie la conception de notre produit.

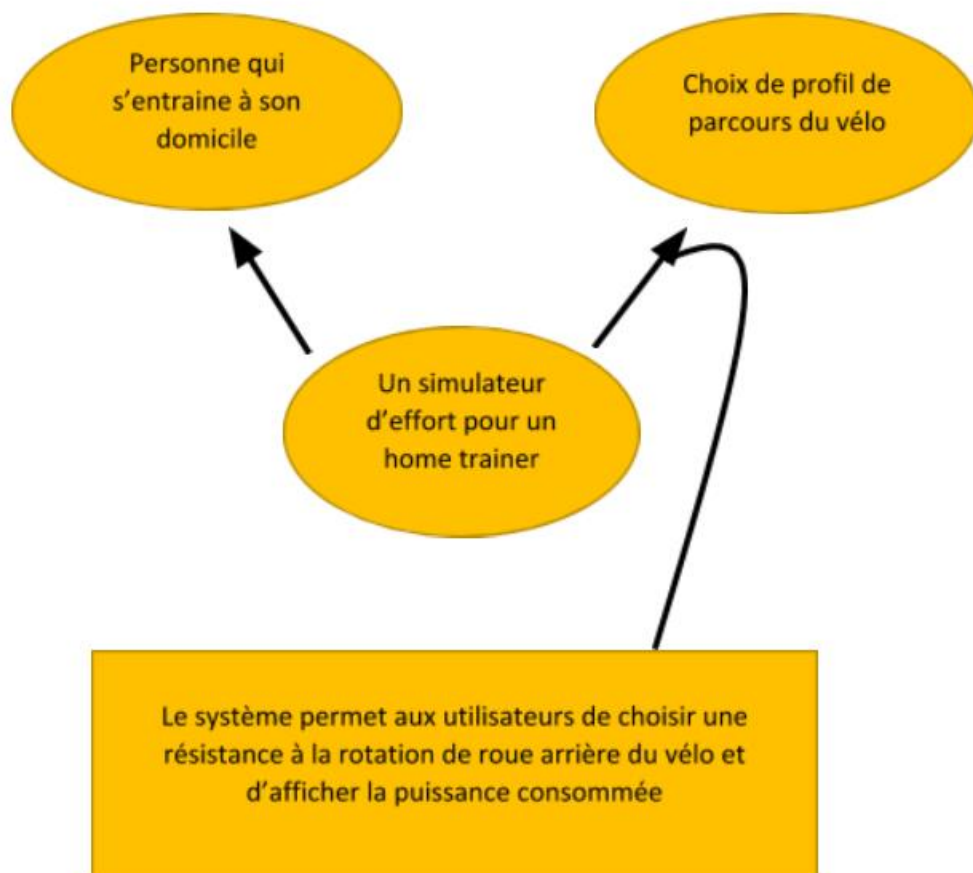
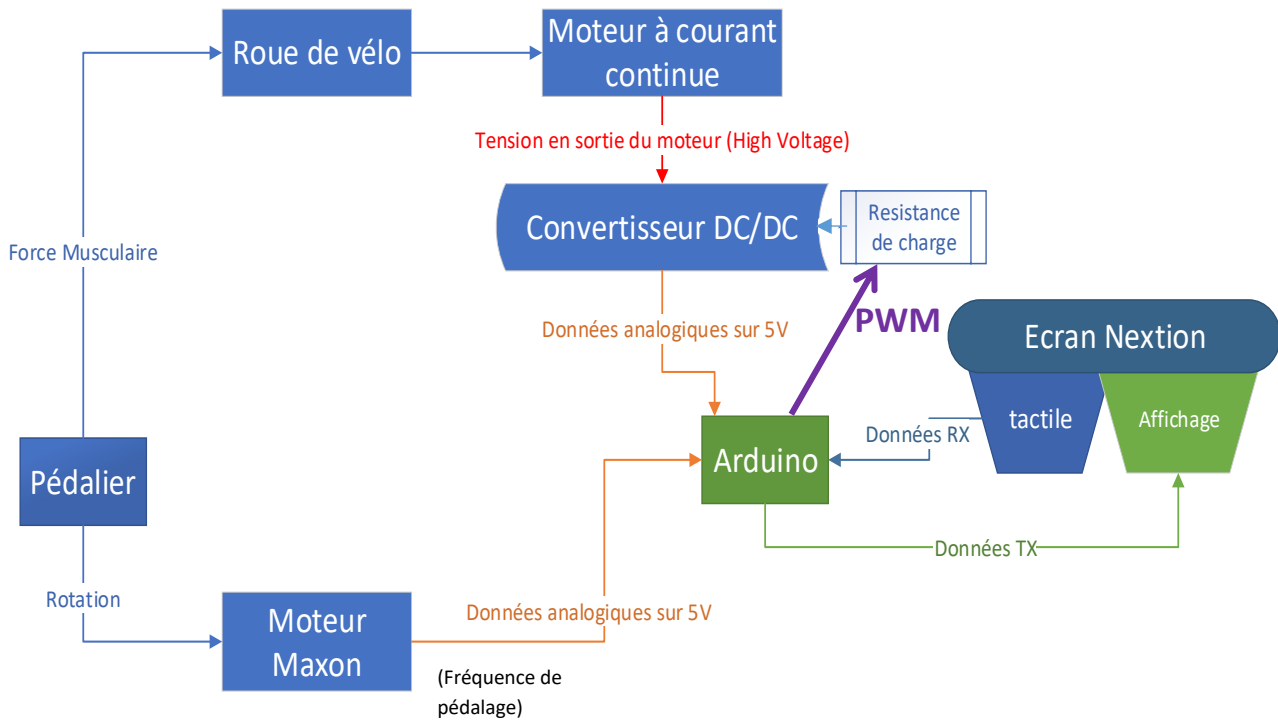




Schéma synoptique :



Fonctionnement :

L'utilisateur agit sur le pédalier, cela produit une puissance mécanique transmise par la chaîne à l'alternateur.

L'alternateur triphasé va produire un courant qui sera ensuite converti par un pont redresseur.

A la sortie du pont le courant est plus ou moins continu, la variation de tension dépend de la capacité du condensateur, la bobine en série avec la charge lisse le courant.

La diode de roue libre permet d'évacuer le courant lorsque le transistor s'ouvre.

La charge dimensionne le courant.



GEII

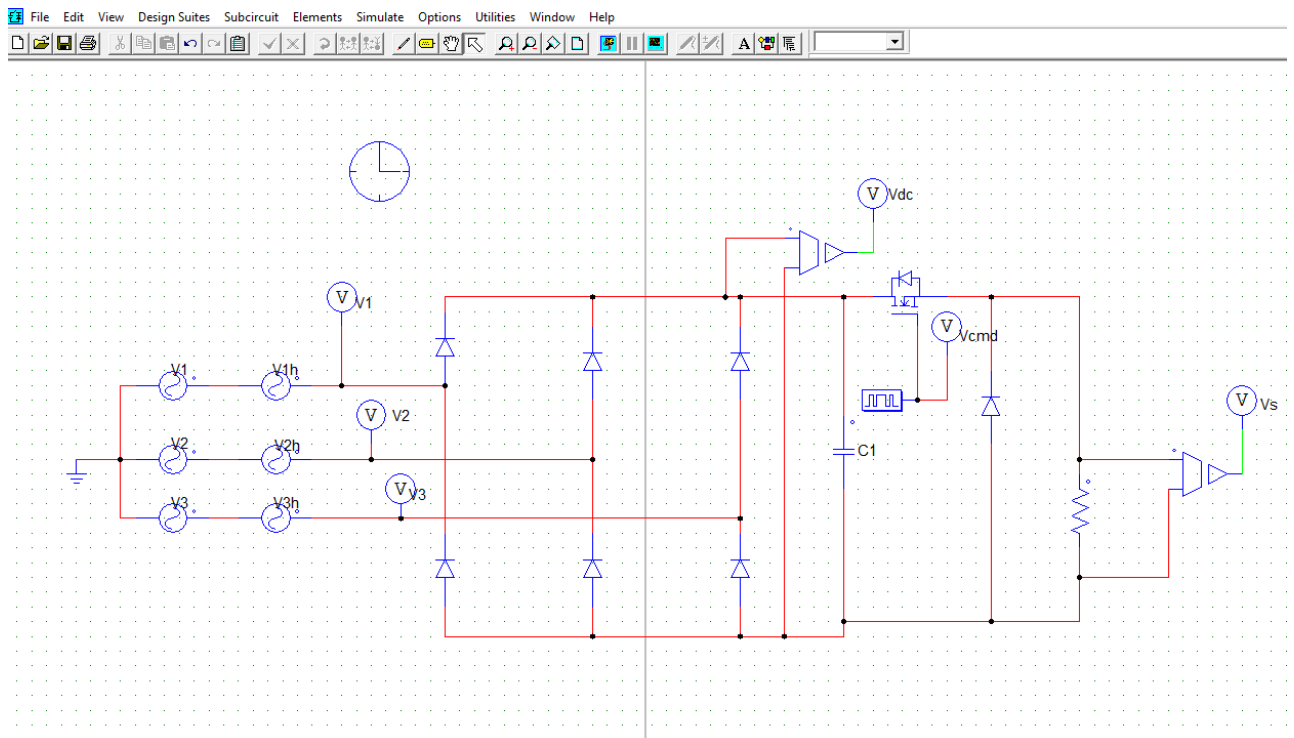
Département Génie Électrique
& Informatique Industrielle
IUT Belfort-Montbéliard

1^{ère} Partie : L'électronique de puissance.

Tout d'abord nous avons commencé par étudier le système, et les documents fournis par notre professeur.

Nous avons utilisé le logiciel PSIM afin de simuler le fonctionnement du moteur triphasé du vélo pour comprendre l'intérêt de l'électronique de puissance. Ce logiciel permet de dessiner le schéma du montage, à partir des éléments de la bibliothèque (machines, transformateurs, interrupteurs électroniques, éléments de commande et de contrôle...). Les appareils de mesure disposés sur le schéma de montage définissent les courbes représentatives des grandeurs électriques et mécaniques que l'on peut obtenir après simulation.

Ici nous allons présenter les trois parties de ce système grâce aux outils de mesure :

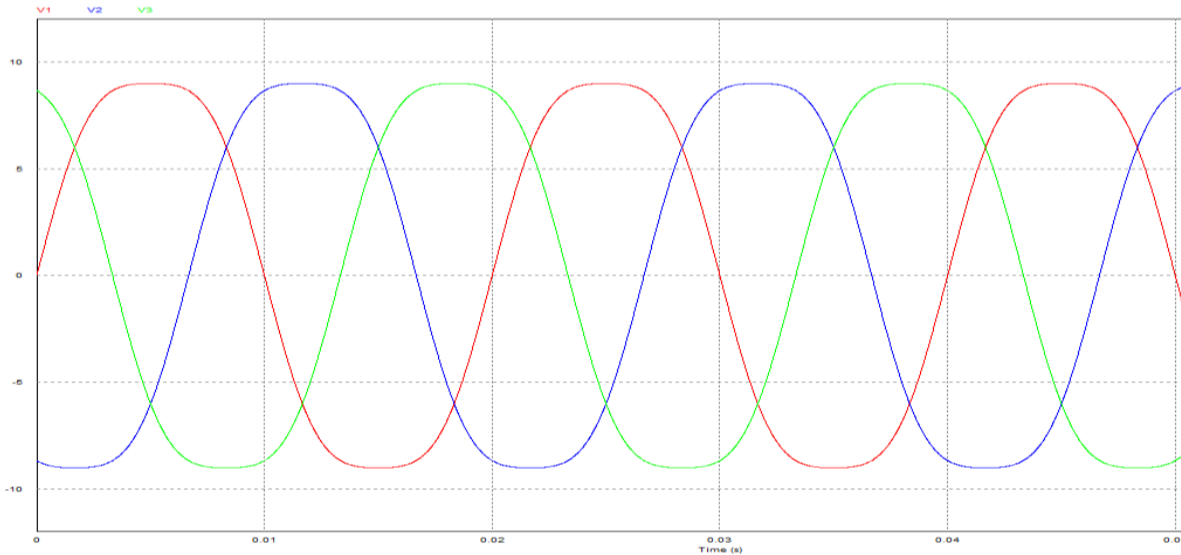




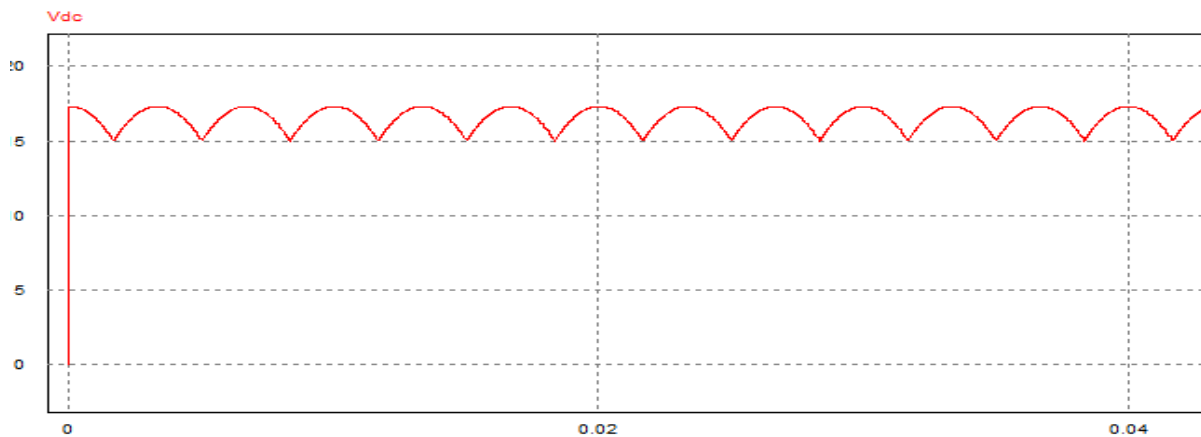
GEII

Département Génie Électrique
& Informatique Industrielle
IUT Belfort-Montbéliard

- Création d'énergie triphasé.



- Le redressement : (convertisseur AC/DC). On constate une tension continue (Vdc).



- Le Hacheur série (convertisseur DC/DC).

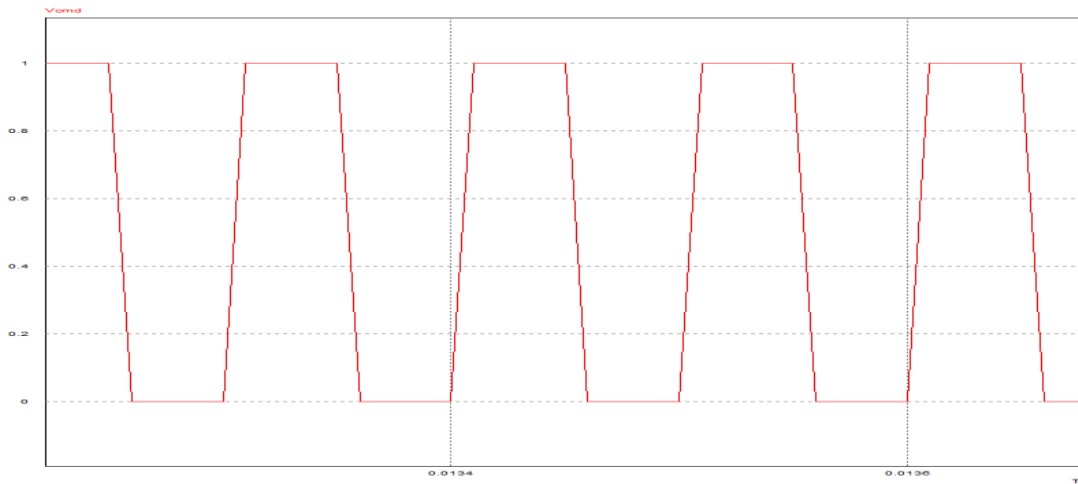
Le hacheur ou convertisseur continu - continu est un dispositif de l'électronique de puissance mettant en œuvre un ou plusieurs interrupteurs commandés et qui permet de modifier la valeur de la tension d'une source de tension continue avec un rendement élevé. Le découpage se fait à une fréquence très élevée ce qui a pour conséquence de créer une tension moyenne.



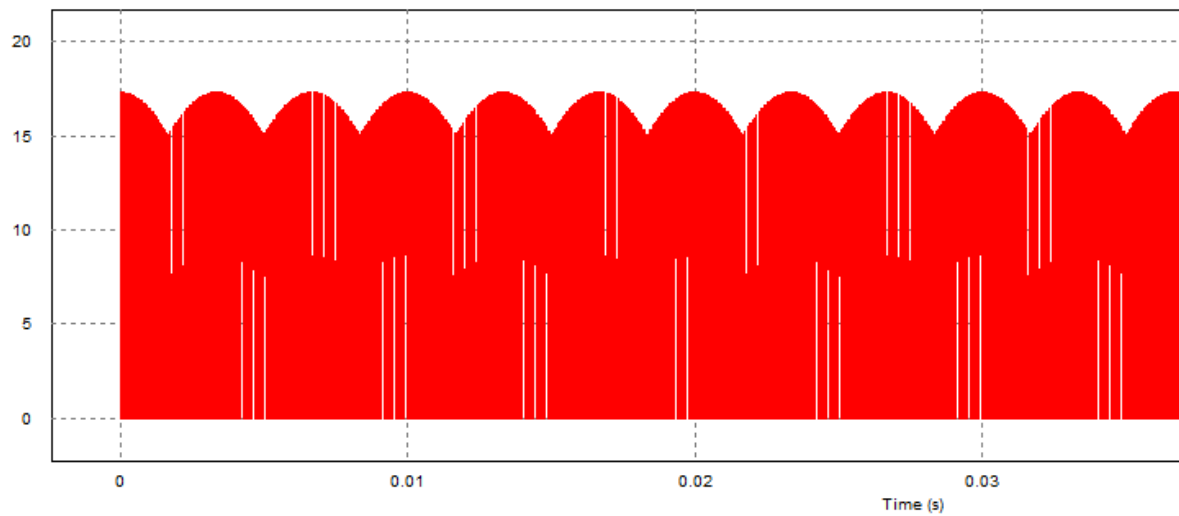
GEII

Département Génie Électrique
& Informatique Industrielle
IUT Belfort-Montbéliard

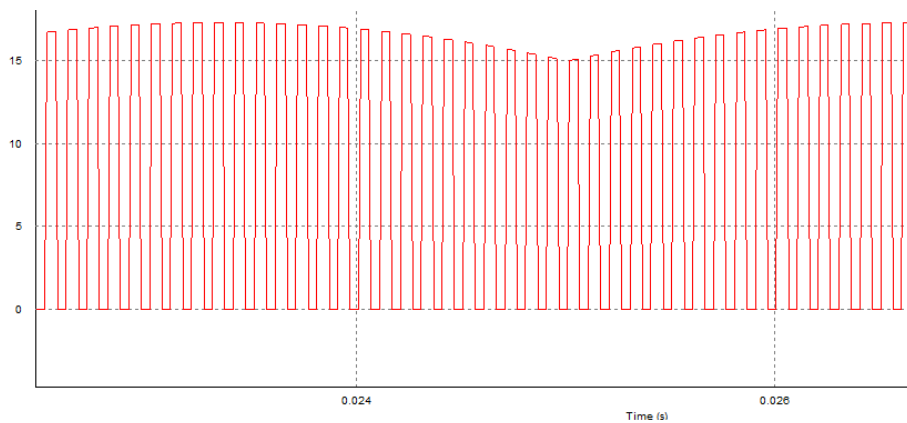
Vcmd : tension de commande qui permet de piloter les interrupteurs.



Nous obtenons Vsortie.



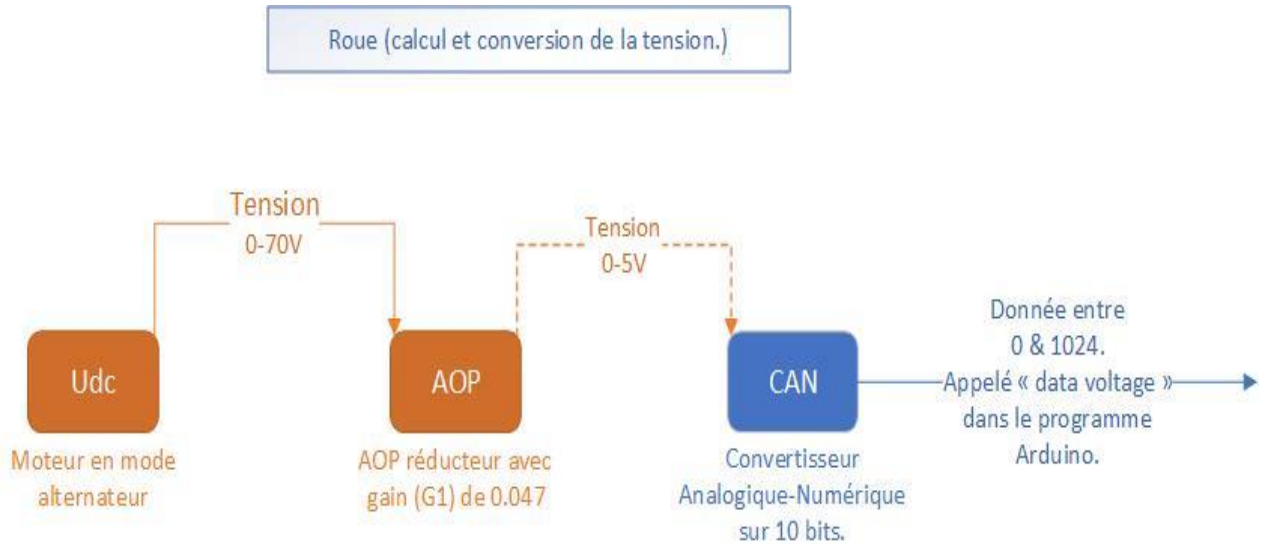
Vs zoom :





GEII

Département Génie Électrique
& Informatique Industrielle
IUT Belfort-Montbéliard



2^{ème}Partie : L'Interface Homme Machine

Pour répondre au besoin du cahier des charges, il nous a été demandé de réaliser une interface Homme-Machine aussi appelé « IHM » tout en se basant sur un objectif clé : réduire le coût du système. L'ancien système était constitué d'un circuit logique programmable (FPGA) très coûteux pour pouvoir simplement utiliser l'écran de manière correcte. Le fruit de nos recherches nous a permis d'opter pour une solution beaucoup moins coûteuse et tout aussi fonctionnelle : la combinaison **Arduino** + Ecran **Nextion**.



GEII

Département Génie Électrique
& Informatique Industrielle
IUT Belfort-Montbéliard



- Arduino

Arduino est une carte électronique qui comporte un microcontrôleur programmable. Elle permet de lire des entrées qu'elles soient analogiques ou numériques. Il intègre également plusieurs convertisseurs analogiques-numériques qui nous seront utiles pour notre projet.



- Nextion

Concrètement l'écran Nextion est un écran tactile qui embarque directement son IHM. Cette IHM est modifiable en intégrant un programme par le biais d'une carte SD ou d'une liaison USB. L'éditeur visuel Nextion Editor est un logiciel WYSIWYG « what you see is what you get ».

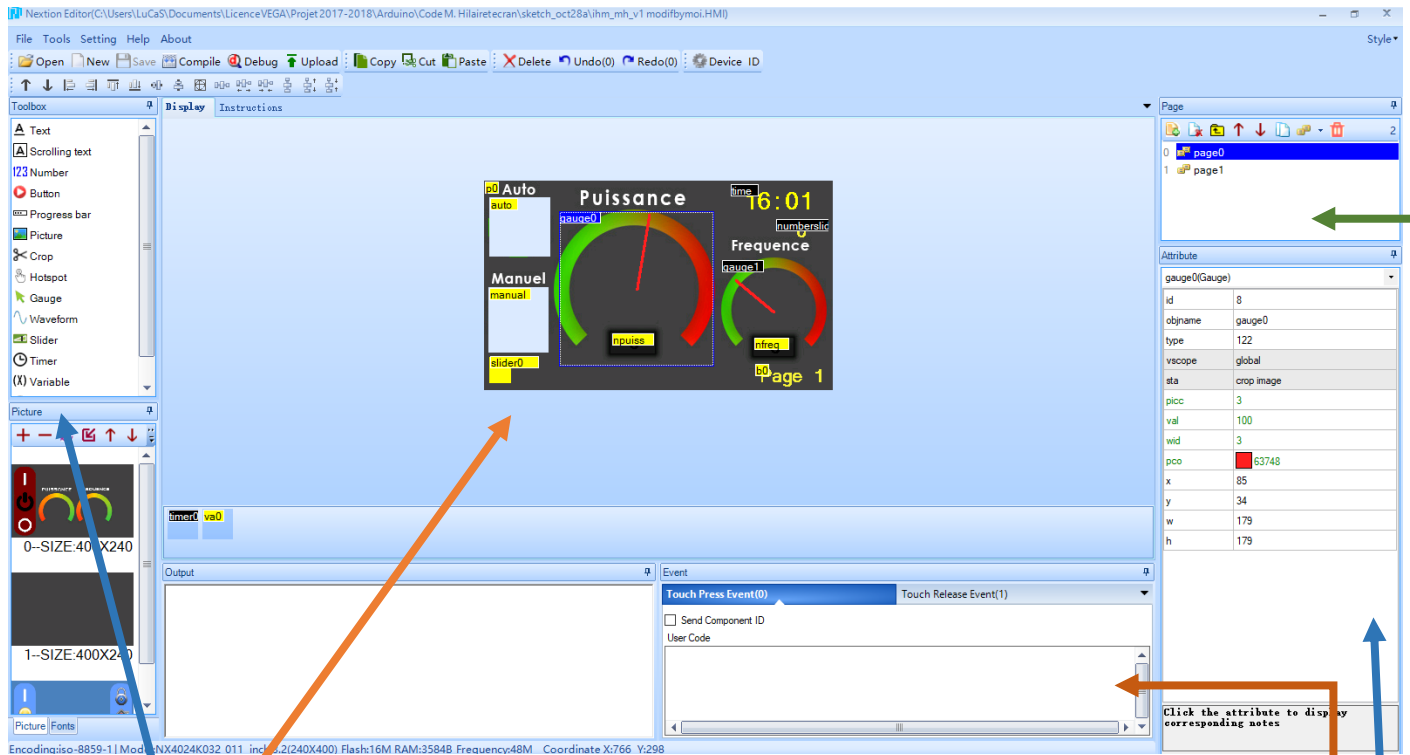
Résultat : il n'y a besoin que d'une liaison série pour échanger les données numériques avec un autre équipement (Dans notre cas, l'Arduino).

Liaison USB entre Nextion Editor et l'écran Nextion :





Interface Nextion Editor :



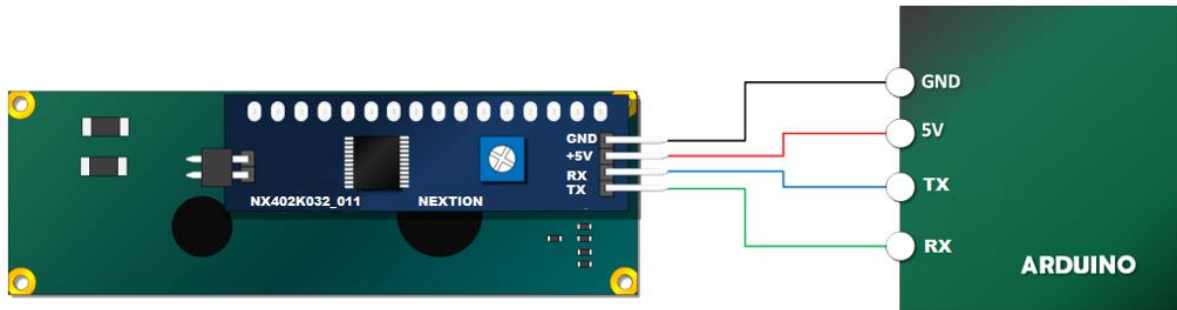
- Ici il s'agit de l'écran de visualisation. Le principe du « WYSIWYG » se trouve ici.
- Dans cette fenêtre nous avons toutes les fonctions que « Nextion Editor » propose.
- Il s'agit de la bibliothèque d'images.
- Dans cette fenêtre on peut écrire du code pour par exemple lire la valeur d'une autre fonction et réagir en conséquence.
- Fenêtre dite « paramètres de la fonction » on peut modifier le nom de la fonction, sa couleur, son identifiant etc...
- Enfin, cette fenêtre sert à la gestion des différentes pages que l'on peut afficher sur l'écran.



GEII

Département Génie Électrique
& Informatique Industrielle
IUT Belfort-Montbéliard

Voici la liaison (simple) de la connexion entre l'écran Nextion et l'Arduino.



La position des aiguilles sur Nextion.

Nous devons intégrer une jauge avec une aiguille pour pouvoir afficher la puissance. Nous avons donc utilisé la fonction « gauge » qui est prévu à cet effet. Il s'agit d'une aiguille capable de bouger sur 360° en fonction d'une valeur donnée.

Un des problèmes rencontrés a été que lorsqu'on donne la valeur « 0 » à l'aiguille, l'aiguille commence sa course à -90°. Pour résoudre ce problème nous avons trouvé une méthode directement depuis le programme en langage « C ». Nous avons pour cela créé un tableau :

```
36 int mygVals[55] = {316, 321, 326, 331, 336, 341, 346, 351, 356, 1, 6, 11, 16, 21, 26,  
37 31, 36, 41, 46, 51, 56, 61, 66, 71, 76, 81, 86, 91, 96, 101, 106,  
38 111, 116, 121, 126, 131, 136, 141, 146, 151, 156, 161, 166, 171,  
39 176, 181, 186, 191, 196, 201, 206, 211, 216, 221, 226};  
40
```

Grâce à ce tableau nous allons assimiler la valeur « 0 » venant de notre moteur à la première valeur de notre tableau en l'occurrence « 316 ». L'aiguille sera donc à la valeur « 0 » et en position 316° comme voulu. Cette même méthode est appliquée pour toutes les autres valeurs. On incrémente de 5 entre chaque valeur.

Les librairies.

Nous avons ajouté les deux librairies (SoftwareSerial.h & Nextion.h (500Mb) dans le logiciel Arduino pour pouvoir intégrer l'écran Nextion et nous avons dû modifier le fichier « NexConfig.h » de la librairie Nextion. Il a fallu modifier ce fichier en l'ouvrant avec un traitement de texte simple comme celui fournit avec Windows. Il faut ensuite modifier une ligne pour ensuite la remplacer par trois autres lignes. Cette manipulation est disponible, voir bibliographie.



GEII

Département Génie Électrique
& Informatique Industrielle
IUT Belfort-Montbéliard

La partie affichage de l'écran permet d'informer en temps réel la puissance développée par l'utilisateur.

La partie tactile permet de régler en temps réel la résistance du moteur afin de simuler une pente selon les envies de l'utilisateur, celle-ci est une charge que l'on va appliquer au moteur à l'aide d'un potentiomètre (ici le potentiomètre sera pilotable depuis l'écran tactile).

Stratégie utilisée pour déterminer la cadence de pédalage :

Notre Home trainer est équipé sur son pédalier d'un moteur Maxon A-MAX 110150 inutilisé. (Doc en annexe)

C'est un moteur pas à pas, à courant continu et équipé d'aimants permanents.



Le moteur est relié au pédalier par deux engrenages.

Un calcul qui divise le nombre total de cran des deux engrenages permet de trouver le coefficient de réduction : ici nous avons $60/14=4.285$

D'après la documentation, nous avons trouvé qu'en sortie de ce moteur, nous obtenons une tension inférieure à 1V.

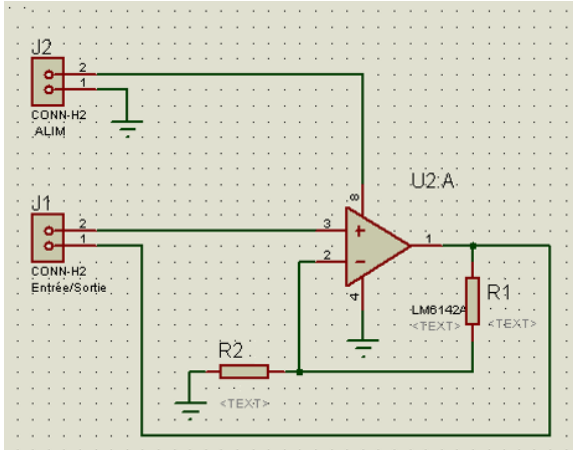
Nous avons donc besoin d'amplifier cette valeur à la valeur réelle pour qu'elle soit utilisable, en utilisant un Amplificateur non-inverseur.



GEII

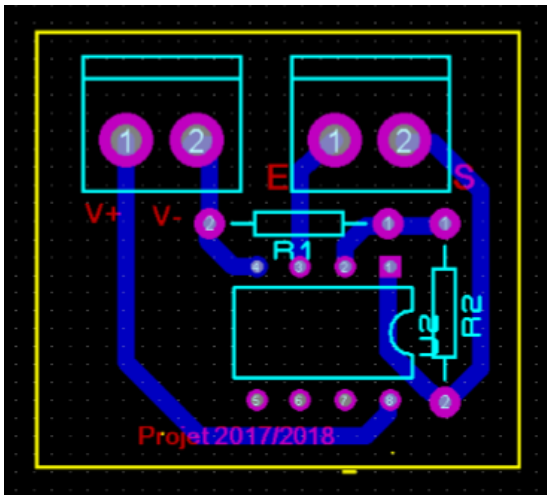
Département Génie Électrique
& Informatique Industrielle
IUT Belfort-Montbéliard

Nous avons utilisé le logiciel ISIS de Proteus pour éditer le schéma électrique.

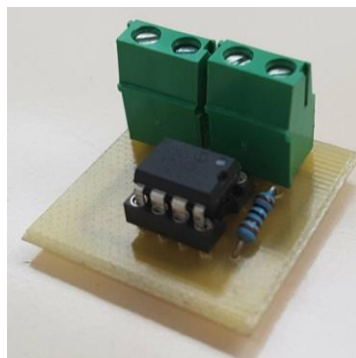
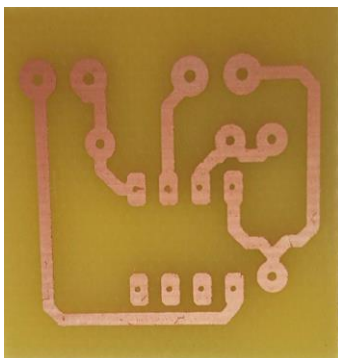


La même masse est utilisée pour alimenter l'AOP et V_e .

Le logiciel ARES pour l'édition et de routage du circuit électronique :



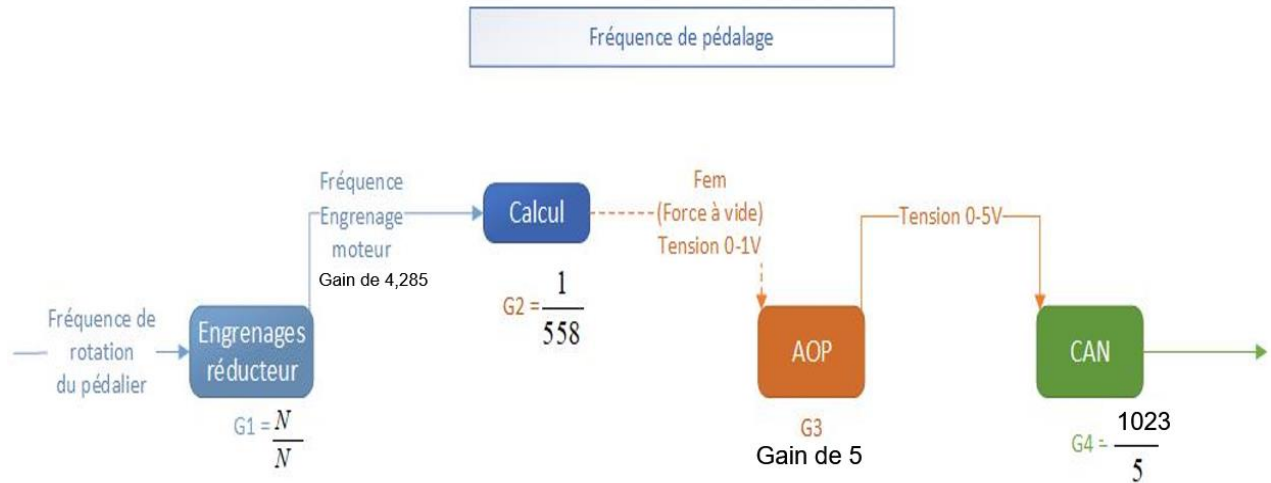
Nous avons percé la carte et brasé les composants que nous avons préalablement choisis en effectuant des tests sur une plaque Labdec.





GEII

Département Génie Électrique
& Informatique Industrielle
IUT Belfort-Montbéliard



L'AOP est supposé idéal, en régime linéaire ($V_+ = V_-$).

Le courant d'entrée sur la broche inverseuse étant nul, on peut appliquer un pont diviseur de tension résistif entre **R1** et **R2** pour obtenir la tension V_- :

$$V_- = V_s \left(\frac{R_2}{R_1 + R_2} \right)$$

$$V_+ = V_e$$

$$\Rightarrow V_e = V_s \left(\frac{R_2}{R_1 + R_2} \right)$$

$$\Rightarrow V_s = V_e \left(1 + \frac{R_1}{R_2} \right)$$

La tension de sortie V_s est donc bien supérieure ou égale à la tension d'entrée V_e (si $R_1/R_2 \ll 1$), et de même signe, d'où son appellation amplificateur non-inverseur.

C'est donc bien ce dont nous avons besoin, un montage à gain réglable.

Avec : $R_2 = 1\text{k}\Omega$; $R_1 = 250\Omega$ nous obtenons un coefficient d'amplification entre V_e et $V_s \approx 5$.

Nous avons mesuré que la tension de sortie du moteur à vide (FEM^1 en volt) est entre 0-1V, avec un coefficient d'amplification de 5 nous obtenons une valeur exploitable par l'Arduino.

¹ Force électromotrice



GEII

Département Génie Électrique
& Informatique Industrielle
IUT Belfort-Montbéliard

Conclusion :

Ce projet s'est révélé très formateur dans la mesure où il a consisté en une approche concrète de notre futur métier. En effet, la prise d'initiative, le respect des délais et le travail en équipe sont des aspects essentiels.

Nous avons cependant accumulé un retard dans la compréhension du travail effectué précédemment, ainsi que dans la plus grande partie du projet que nous avons sous-estimée. La programmation, dû à la complexité des actions à exécuter dans les règles, mais après un certain temps de réflexion, nous sommes parvenues à résoudre nos problèmes.

Grâce à ce projet, nous avons pu appliquer et approfondir nos connaissances obtenues par les différentes formations suivies cette année dans le domaine de l'électronique de puissance, la gestion de projet, l'informatique embarquée (langage C), la conception assistée par ordinateur, ainsi que du traitement du signal.



GEII

Département Génie Électrique
& Informatique Industrielle
IUT Belfort-Montbéliard

Bibliographie :

Librairie Arduino :

<https://create.arduino.cc/projecthub/tsavascii/nextion-lcd-communicate-with-arduino-uno-188a44>

Datasheet AOP fréquence de pédalage :

<http://ww1.microchip.com/downloads/en/DeviceDoc/21668d.pdf>

Aide Nextion Editor :

https://www.itead.cc/wiki/Nextion_Editor_Quick_Start_Guide

<https://www.itead.cc/blog/an-entry-application-%20of-progress-bar-picture-and-crop-component>



GEII

Département Génie Électrique
& Informatique Industrielle
IUT Belfort-Montbéliard

ANNEXES :

Programmation :

```
Final_08_03_1
1 #include <SoftwareSerial.h>           //Librairie de SoftWareSerial.h
2 #include "Nexion.h"                 //Librairie de Nexion.h
3
4 // Config port serie
5 SoftwareSerial HMISerial(10,11);     //Définition des pins RX, TX.
6
7 #define DEBUG
8
9 #define gain 0.194 // 199/1023 => "OCR2A/valeur max." CAN gain d'adaptation.
10 #define gain2 0.2490 // 255/1024 => gain d'adaptation.
11
12
13
14 // Declaration des composants
15 // [page id:0,component id:3, component name: "n0"].
16 NexText time = NexText(0, 7, "time"); // N° de page, N° d'objet, Nom de l'objet ?
17 NexCrop light = NexCrop(0, 3, "light");
18 NexHotspot on_light = NexHotspot(0, 8, "on");
19 NexHotspot off_light = NexHotspot(0, 4, "off");
20
21 //Declaration du potentiomètre en bas de l'écran pour régler la pente.
22 NexText slider0_text = NexText(0, 13, "slider0_text");
23 NexSlider slider0 = NexSlider(0, 12, "slider0");
24
25 //Declaration de l'aiguille.
26 NexTimer timer0 = NexTimer(0, 11, "timer0");
27 NexGauge gauge0 = NexGauge(0, 1, "gauge0");
28
29 NexTouch *nex_listen_list[] =
30
31 {
32     son_light,
33     soff_light,
34     sslider0,
35     // stimer0,
36     NULL
37 };
38
39
40
41 //Declaration des variables.
42 unsigned short int data_voltage; //variable pour la données du moteur en Watts(0,1023)
43 unsigned short int data_potentiometer; //variables pour la donnée de la pente(0,1023)
44
45 unsigned char test = 0;
46
47 char stime[6];
48 unsigned long int t, t_nex;
49 uint32_t number = 0; //Déclaration de "number" à "0"
50 unsigned int count = 1; // Déclaration de "count" à "1" --
51 int upperLimit = 54; // Limite haute - myVals[] upper dimension --
52 int lowerLimit = 0; // Limite basse --
53 char buffer[100] = {0}; //Définition du buffer à "0" le
54
```



GEII

Département Génie Électrique
& Informatique Industrielle
IUT Belfort-Montbéliard

```
57 // on incremente de 5 - début de la jauge = 316, fin de la jauge = 226
58 //mygVals[55] est un tableau de 55 caractères.
59 int mygVals[55] = {316, 321, 326, 331, 336, 341, 346, 351, 356, 1, 6, 11, 16, 21, 26,
60 31, 36, 41, 46, 51, 56, 61, 66, 71, 76, 81, 86, 91, 96, 101, 106,
61 111, 116, 121, 126, 131, 136, 141, 146, 151, 156, 161, 166, 171,
62 176, 181, 186, 191, 196, 201, 206, 211, 216, 221, 226};
63
64
65 void Slider0PopCallback(void *ptr)
66 {
67     uint32_t val = 0;
68     char temp[10] = {0};
69
70     slider0.getValue(&val); // on prend la valeur du slider et on l'attribu a "val"
71     utoa(val, temp, 10); //fonction à revoir
72     slider0_text.setText(temp);
73     gauge0.setValue(val); // on définit la valeur de "gauge" par la variable "val"
74
75     //Affichage de "slider0 = *valeur*"
76     Serial.print("slider0 = ");
77     Serial.println(val);
78 }
103 //-----
104 void setup()
105 {
106     // Configuration des entrées analogiques
107     pinMode(A0, INPUT); // bus de tension continue
108     pinMode(A1, INPUT); // sortie de potentiometre
109
110     // Config Pin 8 for the frequency measurement
111     pinMode(8, INPUT); // Capteur avec fréquence de la roue
112     pinMode(2, INPUT); // Switch
113
114     // Config port serie pour communiquer avec le PC (debug)
115     #ifdef DEBUG
116         Serial.begin(9600); // initialisation de la communication série à 9600 bps
117     #endif
118
119     //-----
120     noInterrupts(); // desactivation des interruptions
121
122     //-----
123     // PWM configuration
124     pinMode( 3, OUTPUT);
125
126     // Timer 2 (8 bits)
127     // page 153
128     // 00=Normal port operation, OC2A disconnected,
129     // 10=Clear OC2B on Compare Match, set OC2B at BOTTOM, (non-inverting mode).
130     // --
131     // WGM21=1, WGM20=1
132     TCCR2A = 0b00100011;
133
134     // page 155, Fast PWM, mode = 7, TOP = OCRA
135     // 00= for a non-PWM mode
136     // --
137     // 1=WGM22
```



GEII

Département Génie Électrique
& Informatique Industrielle
IUT Belfort-Montbéliard

```
138 // 010=clk/8 (From prescaler) CS22=0, CS21=1, CS20=0
139 TCCR2B = 0b00001010;
140
141 // Page 141, The PRTIM2 bit must be written to zero to enable
142 // Timer/Counter2 module.
143 PRR = PRR & 0b10111111;
144 // Page 157, Timer/Counter Register
145 TCNT2 = 0;
146
147 // 100.10-6 = (OCR2A+1)*1/(16MHz/8)
148 OCR2A = 199;
149 OCR2B = 100; // Duty cycle
150
151 // Interrupt configuration
152 // Page 158 : Enable TIMER2 interrupt when TCNT2 = OCR2A
153 TIMSK2 = 0x02;
154
155 //-----
156 // TIMER1 configuration (16 bits)
157 // Page 131
158 // 0000= Normal port operation, OCL1A/OCL1B disconnected.
159 // --
160 // 00=WGM11 and WGM10, mode = 4, page 132
161 TCCR1A = 0b00000000;
162 // ---
163 // 01= WGM13=1 and WGM12=1, mode = 4, page 134
164 // 101=CS12,CS11,CS10=clk/1024
165 // 011 /64
166 // 100 /256
167 TCCR1B = 0b00001100; // mode 4
168
169 // Page 134, Timer/Counter Register
170 TCNT1H = 0;
171 TCNT1L = 0;
172
173 // TOP value of TCNT
174 OCR1AH = 0xF3;
175 OCR1AL = 0x24;
176
177 // Interrupt configuration
178 TIMSK1 = 0x02;
179
180 //-----/**
181 interrupts(); // activation des interruptions
182
183 /* Set the baudrate which is for debug and communicate with Nextion screen. */
184 nexInit();
185 //on_light.attachPush(OnLightPushCallback, &on_light);
186 //off_light.attachPush(OffLightPushCallback, &off_light);
187 on_light.attachPush(OnLightPushCallback);
188 off_light.attachPush(OffLightPushCallback);
189 slider0.attachPop(Slider0PopCallback);
190 // timer0.attachTimer(Timer0Callback);
191 dbSerialPrintln("setup done");
192 }
193
```



GEII

Département Génie Électrique
& Informatique Industrielle
IUT Belfort-Montbéliard

```
196 void loop() //boucle
197 {
198     nexLoop(nex_listen_list);
199
200     // Lire la tension a l'entrée du convertisseur DC/DC
201     data_voltage = analogRead(A0); // Lecture de la pin A0
202     // data_voltage_send = (unsigned char)(gain * data_voltage); // Entre 0 et 199=OCR2A
203
204     mode = digitalRead(2); // State of the switch
205 }
208 // ISR TIMER2 - 100µs
209 ISR(TIMER2_COMPA_vect)
210 {
211
212 }
213 //-----
214 // ISR TIMER1 - 1s
215 ISR(TIMER1_COMPA_vect)
216 {
217     // Affichage de : voltage
218     #ifndef DEBUG
219         Serial.print("data_voltage=");
220         Serial.println(data_voltage);
221     #endif
222
223     // Lecture puis affichage du potentiomètre
224     data_potentiometer = analogRead(A1); // Lecture de la pin A1
225     #ifndef DEBUG
226         Serial.print("data_potentiometer=");
227         Serial.println(data_potentiometer);
228     #endif
229
230     // Choisir entre le potentiomètre physique ou le slider de l'écran tactile
231     // Duty cycle
232     // La valeur Max de OCR2B est OCR2A=199
233     if(mode == 1)
234     {
235         //partie potentiomètre
236         OCR2B = (unsigned char)(data_potentiometer * gain); //valeur final du potentiomètre envoyé à l'Arduir
237         #ifndef DEBUG
238             Serial.println("Control via the potentiometer");
239         #endif
240     }
241     //partie écran tactile
242     else
243     {
244         //OCR2B = data_usb * 2; // Max = 199 = 2*100%
245
246         #ifndef DEBUG
247             Serial.println("Control via the touchscreen");
248             Serial.print("data=");
249             Serial.println(data_usb);
250         #endif
251         gauge0.setValue(mygVals[count]); //On attribue une valeur du tableau à l'aiguille.
252     }
253 }
254 }
255
256 }
```

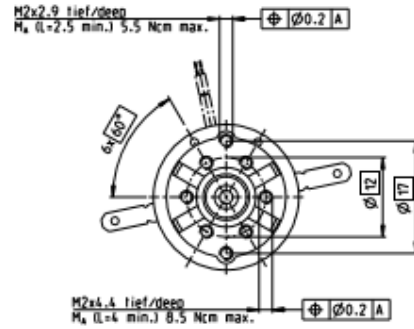
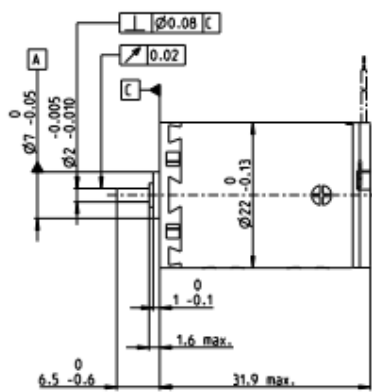
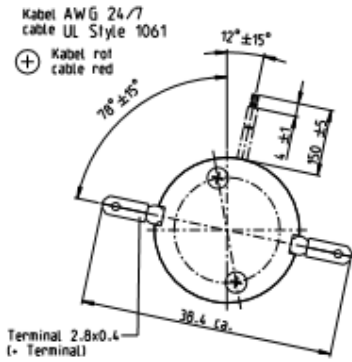


GEII

Département Génie Électrique
& Informatique Industrielle
IUT Belfort-Montbéliard

Moteur Maxon A-MAX 110150 :

A-max 22 Ø22 mm, Graphite Brushes, 6 Watt



M 1:1

- Stock program
- Standard program
- Special program (on request)

Part Numbers

with terminals	110143	110145	110146	110147	110148	110149	110150	110151	110152	110153	110154	110155
with cables	139840	353017	199807	320206	323856	108828	199424	202921	267433	325492	313302	353019

Motor Data

Values at nominal voltage		6	9	9	12	12	15	18	24	24	36	48	48
1	Nominal voltage	V	6	9	9	12	12	15	18	24	24	36	48
2	No load speed	rpm	9240	9690	8500	10200	9170	10000	9770	10500	8480	9630	9110
3	No load current	mA	83.1	57.9	49.6	45.8	40.5	36	29	23.7	18.4	14.2	9.99
4	Nominal speed	rpm	6240	6530	5350	7060	6000	6890	6600	7380	5270	6420	5840
5	Nominal torque (max. continuous torque)	mNm	5.91	6.88	7.04	6.96	6.95	6.93	6.92	6.9	6.97	6.86	6.75
6	Nominal current (max. continuous current)	A	1.08	0.859	0.77	0.681	0.613	0.534	0.432	0.347	0.283	0.21	0.147
7	Stall torque	mNm	19.4	22.1	19.8	23.7	20.9	22.9	22	23.7	18.9	21.1	19.2
8	Stall current	A	3.29	2.59	2.04	2.17	1.72	1.65	1.29	1.12	0.721	0.606	0.393
9	Max. efficiency	%	67	70	69	72	70	72	72	73	70	72	71
Characteristics													
10	Terminal resistance	Ω	1.82	3.48	4.42	5.53	6.96	9.09	14	21.5	33.3	59.4	122
11	Terminal inductance	mH	0.106	0.223	0.288	0.363	0.445	0.585	0.891	1.37	2.1	3.69	7.3
12	Torque constant	mNm/A	5.9	8.55	9.73	10.9	12.1	13.9	17.1	21.2	26.2	34.8	48.9
13	Speed constant	rpm/V	1620	1120	981	875	790	689	558	450	364	274	195
14	Speed / torque gradient	rpm/mNm	500	454	446	444	455	452	457	456	461	468	479
15	Mechanical time constant	ms	20.9	20.2	20.1	19.9	19.9	19.9	19.7	19.7	19.8	19.7	19.8
16	Rotor inertia	gcm ²	4	4.25	4.3	4.29	4.19	4.2	4.13	4.13	4.09	4.02	3.9

Specifications

Thermal data

17	Thermal resistance housing-ambient	20 K/W
18	Thermal resistance winding-housing	6.0 K/W
19	Thermal time constant winding	9.43 s
20	Thermal time constant motor	314 s
21	Ambient temperature	-30...+85°C
22	Max. winding temperature	+125°C

Mechanical data (sleeve bearings)

23	Max. speed	9800 rpm
24	Axial play	0.05 - 0.15 mm
25	Radial play	0.012 mm
26	Max. axial load (dynamic)	1 N
27	Max. force for press fits (static)	80 N
28	Max. radial load, 5 mm from flange	2.8 N

Mechanical data (ball bearings)

23	Max. speed	9800 rpm
24	Axial play	0.05 - 0.15 mm
25	Radial play	0.025 mm
26	Max. axial load (dynamic)	3.3 N
27	Max. force for press fits (static)	45 N
28	Max. radial load, 5 mm from flange	12.3 N

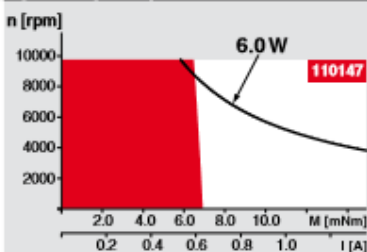
Other specifications

29	Number of pole pairs	1
30	Number of commutator segments	9
31	Weight of motor	54 g

Values listed in the table are nominal.
Explanation of the figures on page 79.

Option
Ball bearings in place of sleeve bearings

Operating Range

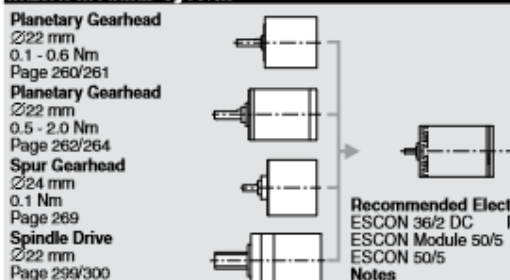


Comments

- **Continuous operation**
In observation of above listed thermal resistance (lines 17 and 18) the maximum permissible winding temperature will be reached during continuous operation at 25°C ambient.
= Thermal limit.
- Short term operation**
The motor may be briefly overloaded (recurring).
- **Assigned power rating**

maxon Modular System

Overview on page 20–25



Recommended Electronics:

ESCON 36/2 DC	Page 342
ESCON Module 50/5	343
ESCON 50/5	344
Notes	22